

Starkniederschlagshöhen und -spenden gemäß KOSTRA-DWD-2020

Rasterfeld 140095

(Zeile 140, Spalte 95)

Regenspende und Bemessungsniederschlagswerte in Abhängigkeit von Wiederkehrzeit T und Dauerstufe D

| Dauerstufe D | | Wiederkehrzeit T | | | | | | | | | | | | | | | | | |
|--------------|-----|------------------|------------|------|------------|------|------------|------|------------|------|------------|-------|------------|-------|------------|-------|------------|-------|------------|
| | | 1 a | | 2 a | | 3 a | | 5 a | | 10 a | | 20 a | | 30 a | | 50 a | | 100 a | |
| min | Std | mm | l / (s ha) | mm | l / (s ha) | mm | l / (s ha) | mm | l / (s ha) | mm | l / (s ha) | mm | l / (s ha) | mm | l / (s ha) | mm | l / (s ha) | mm | l / (s ha) |
| 5 | | 5,2 | 173,3 | 6,4 | 213,3 | 7,1 | 236,7 | 8,0 | 266,7 | 9,4 | 313,3 | 10,8 | 360,0 | 11,7 | 390,0 | 12,9 | 430,0 | 14,6 | 486,7 |
| 10 | | 7,5 | 125,0 | 9,1 | 151,7 | 10,1 | 168,3 | 11,4 | 190,0 | 13,3 | 221,7 | 15,3 | 255,0 | 16,6 | 276,7 | 18,3 | 305,0 | 20,7 | 345,0 |
| 15 | | 8,8 | 97,8 | 10,8 | 120,0 | 12,0 | 133,3 | 13,6 | 151,1 | 15,8 | 175,6 | 18,2 | 202,2 | 19,7 | 218,9 | 21,7 | 241,1 | 24,6 | 273,3 |
| 20 | | 9,9 | 82,5 | 12,0 | 100,0 | 13,4 | 111,7 | 15,1 | 125,8 | 17,6 | 146,7 | 20,3 | 169,2 | 22,0 | 183,3 | 24,2 | 201,7 | 27,4 | 228,3 |
| 30 | | 11,3 | 62,8 | 13,8 | 76,7 | 15,4 | 85,6 | 17,4 | 96,7 | 20,3 | 112,8 | 23,3 | 129,4 | 25,2 | 140,0 | 27,8 | 154,4 | 31,5 | 175,0 |
| 45 | | 12,9 | 47,8 | 15,7 | 58,1 | 17,4 | 64,4 | 19,7 | 73,0 | 23,0 | 85,2 | 26,4 | 97,8 | 28,7 | 106,3 | 31,6 | 117,0 | 35,8 | 132,6 |
| 60 | 1 | 14,0 | 38,9 | 17,1 | 47,5 | 19,0 | 52,8 | 21,5 | 59,7 | 25,0 | 69,4 | 28,8 | 80,0 | 31,2 | 86,7 | 34,4 | 95,6 | 38,9 | 108,1 |
| 90 | 1,5 | 15,7 | 29,1 | 19,1 | 35,4 | 21,2 | 39,3 | 24,0 | 44,4 | 28,0 | 51,9 | 32,2 | 59,6 | 34,9 | 64,6 | 38,5 | 71,3 | 43,6 | 80,7 |
| 120 | 2 | 16,9 | 23,5 | 20,6 | 28,6 | 22,9 | 31,8 | 26,0 | 36,1 | 30,3 | 42,1 | 34,8 | 48,3 | 37,7 | 52,4 | 41,5 | 57,6 | 47,0 | 65,3 |
| 180 | 3 | 18,8 | 17,4 | 22,9 | 21,2 | 25,5 | 23,6 | 28,8 | 26,7 | 33,7 | 31,2 | 38,6 | 35,7 | 41,9 | 38,8 | 46,2 | 42,8 | 52,3 | 48,4 |
| 240 | 4 | 20,3 | 14,1 | 24,7 | 17,2 | 27,4 | 19,0 | 31,0 | 21,5 | 36,2 | 25,1 | 41,6 | 28,9 | 45,1 | 31,3 | 49,7 | 34,5 | 56,2 | 39,0 |
| 360 | 6 | 22,4 | 10,4 | 27,3 | 12,6 | 30,4 | 14,1 | 34,3 | 15,9 | 40,1 | 18,6 | 46,0 | 21,3 | 49,9 | 23,1 | 55,0 | 25,5 | 62,3 | 28,8 |
| 540 | 9 | 24,8 | 7,7 | 30,2 | 9,3 | 33,6 | 10,4 | 38,0 | 11,7 | 44,3 | 13,7 | 50,9 | 15,7 | 55,2 | 17,0 | 60,8 | 18,8 | 68,8 | 21,2 |
| 720 | 12 | 26,6 | 6,2 | 32,4 | 7,5 | 36,0 | 8,3 | 40,7 | 9,4 | 47,6 | 11,0 | 54,6 | 12,6 | 59,2 | 13,7 | 65,2 | 15,1 | 73,9 | 17,1 |
| 1080 | 18 | 29,4 | 4,5 | 35,8 | 5,5 | 39,8 | 6,1 | 45,0 | 6,9 | 52,5 | 8,1 | 60,3 | 9,3 | 65,3 | 10,1 | 72,0 | 11,1 | 81,5 | 12,6 |
| 1440 | 24 | 31,5 | 3,6 | 38,4 | 4,4 | 42,6 | 4,9 | 48,2 | 5,6 | 56,3 | 6,5 | 64,6 | 7,5 | 70,1 | 8,1 | 77,2 | 8,9 | 87,5 | 10,1 |
| 2880 | 48 | 37,2 | 2,2 | 45,4 | 2,6 | 50,4 | 2,9 | 57,1 | 3,3 | 66,6 | 3,9 | 76,4 | 4,4 | 82,9 | 4,8 | 91,3 | 5,3 | 103,4 | 6,0 |
| 4320 | 72 | 41,1 | 1,6 | 50,1 | 1,9 | 55,6 | 2,1 | 62,9 | 2,4 | 73,4 | 2,8 | 84,3 | 3,3 | 91,4 | 3,5 | 100,7 | 3,9 | 114,1 | 4,4 |
| 5760 | 96 | 44,0 | 1,3 | 53,7 | 1,6 | 59,6 | 1,7 | 67,4 | 2,0 | 78,7 | 2,3 | 90,4 | 2,6 | 98,0 | 2,8 | 108,0 | 3,1 | 122,3 | 3,5 |
| 7200 | 120 | 46,5 | 1,1 | 56,6 | 1,3 | 62,9 | 1,5 | 71,2 | 1,6 | 83,1 | 1,9 | 95,4 | 2,2 | 103,4 | 2,4 | 113,9 | 2,6 | 129,0 | 3,0 |
| 8640 | 144 | 48,5 | 0,9 | 59,2 | 1,1 | 65,7 | 1,3 | 74,4 | 1,4 | 86,8 | 1,7 | 99,6 | 1,9 | 108,0 | 2,1 | 119,1 | 2,3 | 134,8 | 2,6 |
| 10080 | 168 | 50,4 | 0,8 | 61,4 | 1,0 | 68,2 | 1,1 | 77,2 | 1,3 | 90,1 | 1,5 | 103,4 | 1,7 | 112,1 | 1,9 | 123,6 | 2,0 | 139,9 | 2,3 |

Starkniederschlagshöhen und -spenden gemäß KOSTRA-DWD-2020

Rasterfeld 140095

(Zeile 140, Spalte 95)

Örtliche Unsicherheiten in Abhängigkeit von Wiederkehrzeit T und Dauerstufe D

| Dauerstufe D | | Wiederkehrzeit T | | | | | | | | |
|--------------|-----|------------------|-----|-----|-----|------|------|------|------|-------|
| | | 1 a | 2 a | 3 a | 5 a | 10 a | 20 a | 30 a | 50 a | 100 a |
| min | Std | ± % | ± % | ± % | ± % | ± % | ± % | ± % | ± % | ± % |
| 5 | | 12 | 12 | 12 | 12 | 12 | 12 | 12 | 13 | 13 |
| 10 | | 10 | 11 | 12 | 13 | 14 | 15 | 15 | 16 | 16 |
| 15 | | 11 | 13 | 14 | 15 | 16 | 17 | 17 | 18 | 18 |
| 20 | | 13 | 14 | 15 | 16 | 17 | 18 | 19 | 19 | 20 |
| 30 | | 14 | 16 | 17 | 18 | 19 | 20 | 20 | 21 | 21 |
| 45 | | 15 | 17 | 17 | 18 | 20 | 21 | 21 | 22 | 22 |
| 60 | 1 | 15 | 17 | 18 | 19 | 20 | 21 | 21 | 22 | 22 |
| 90 | 1,5 | 15 | 16 | 17 | 18 | 20 | 21 | 21 | 22 | 22 |
| 120 | 2 | 14 | 16 | 17 | 18 | 19 | 20 | 21 | 21 | 22 |
| 180 | 3 | 13 | 15 | 16 | 17 | 18 | 19 | 20 | 20 | 21 |
| 240 | 4 | 13 | 15 | 16 | 17 | 18 | 19 | 19 | 20 | 20 |
| 360 | 6 | 12 | 14 | 15 | 16 | 17 | 18 | 18 | 19 | 19 |
| 540 | 9 | 11 | 13 | 14 | 15 | 16 | 17 | 17 | 18 | 18 |
| 720 | 12 | 11 | 12 | 13 | 14 | 15 | 16 | 16 | 17 | 17 |
| 1080 | 18 | 11 | 12 | 13 | 13 | 14 | 15 | 16 | 16 | 17 |
| 1440 | 24 | 11 | 12 | 12 | 13 | 14 | 15 | 15 | 15 | 16 |
| 2880 | 48 | 11 | 12 | 12 | 13 | 13 | 14 | 14 | 14 | 15 |
| 4320 | 72 | 12 | 12 | 12 | 13 | 13 | 14 | 14 | 14 | 15 |
| 5760 | 96 | 13 | 13 | 13 | 13 | 13 | 14 | 14 | 14 | 15 |
| 7200 | 120 | 14 | 13 | 13 | 13 | 14 | 14 | 14 | 14 | 15 |
| 8640 | 144 | 14 | 14 | 14 | 14 | 14 | 14 | 14 | 15 | 15 |
| 10080 | 168 | 15 | 14 | 14 | 14 | 14 | 15 | 15 | 15 | 15 |

Parameter für abweichende T und D

Lokationsparameter ξ (Xi)

14,69058471

Skalenparameter α (Alpha)

4,46641736

Formparameter κ (Kappa)

-0,1

1. Koutsoyiannis-Parameter θ (Theta)

0,06389501

2. Koutsoyiannis-Parameter η (Eta)

0,75930838

Parameter für dauerstufenübergreifende Extremwertschätzung nach KOUTSOYIANNIS et al. 1998.

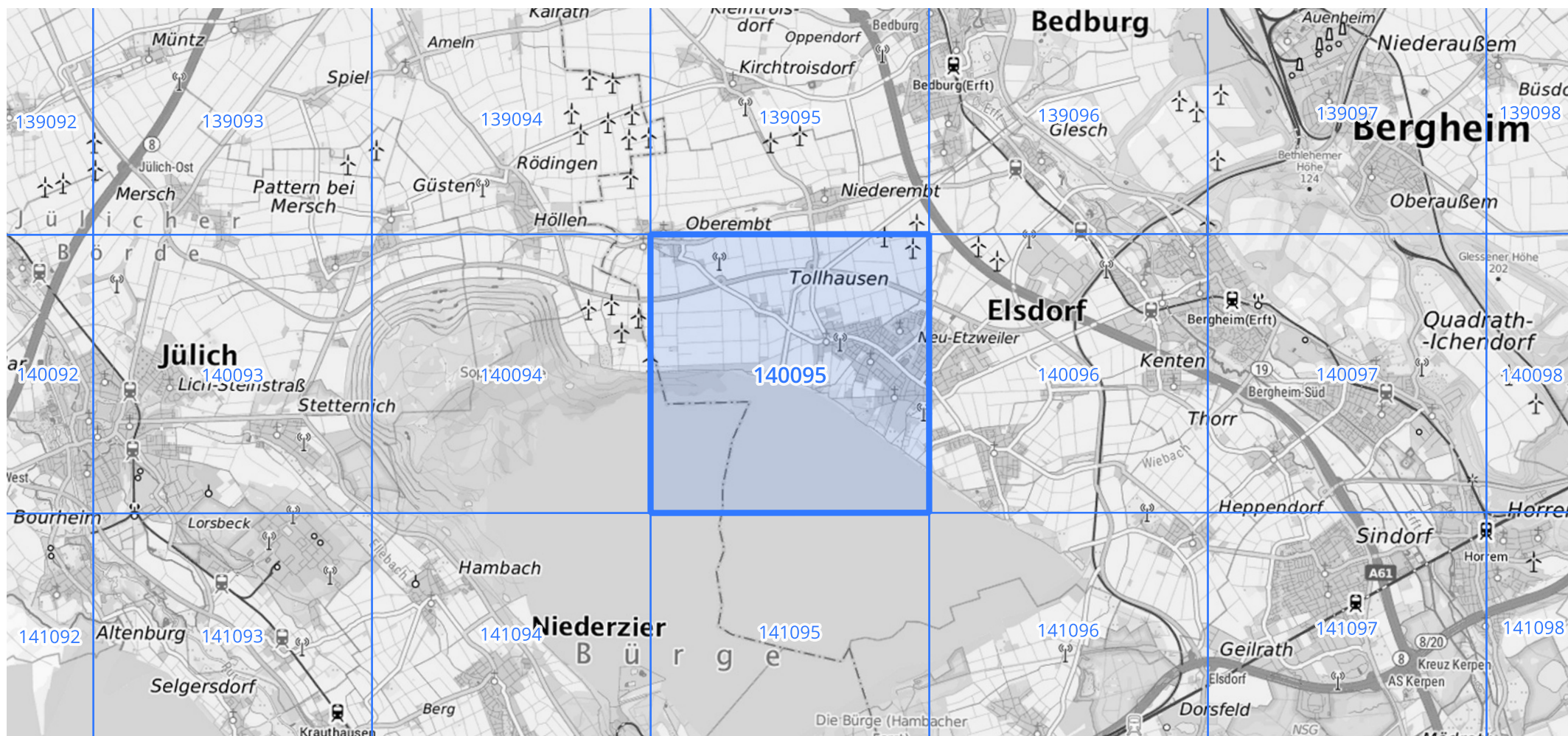
Siehe auch Anwendungshilfe zu KOSTRA-DWD-2020 des Deutschen Wetterdienstes.

Starkniederschlagshöhen und -spenden gemäß KOSTRA-DWD-2020

Rasterfeld 140095

(Zeile 140, Spalte 95)

Übersichtskarte des Rasterfeldes 140095, M 1 : 100 000



Quelle Rasterdaten: KOSTRA-DWD-2020 des Deutschen Wetterdienstes, Stand 12/2022.

Seite 3 von 3

Kartendarstellung: © Bundesamt für Kartographie und Geodäsie (2023), Datenquellen: https://sgx.geodatenzentrum.de/web_public/gdz/datenquellen/Datenquellen_TopPlusOpen.html

Für die Richtigkeit und Aktualität der Angaben wird keine Gewähr übernommen. Erstellt 01/2023.